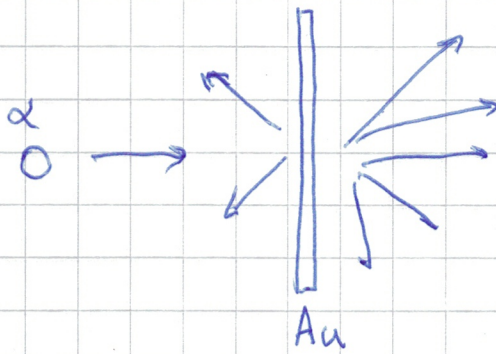
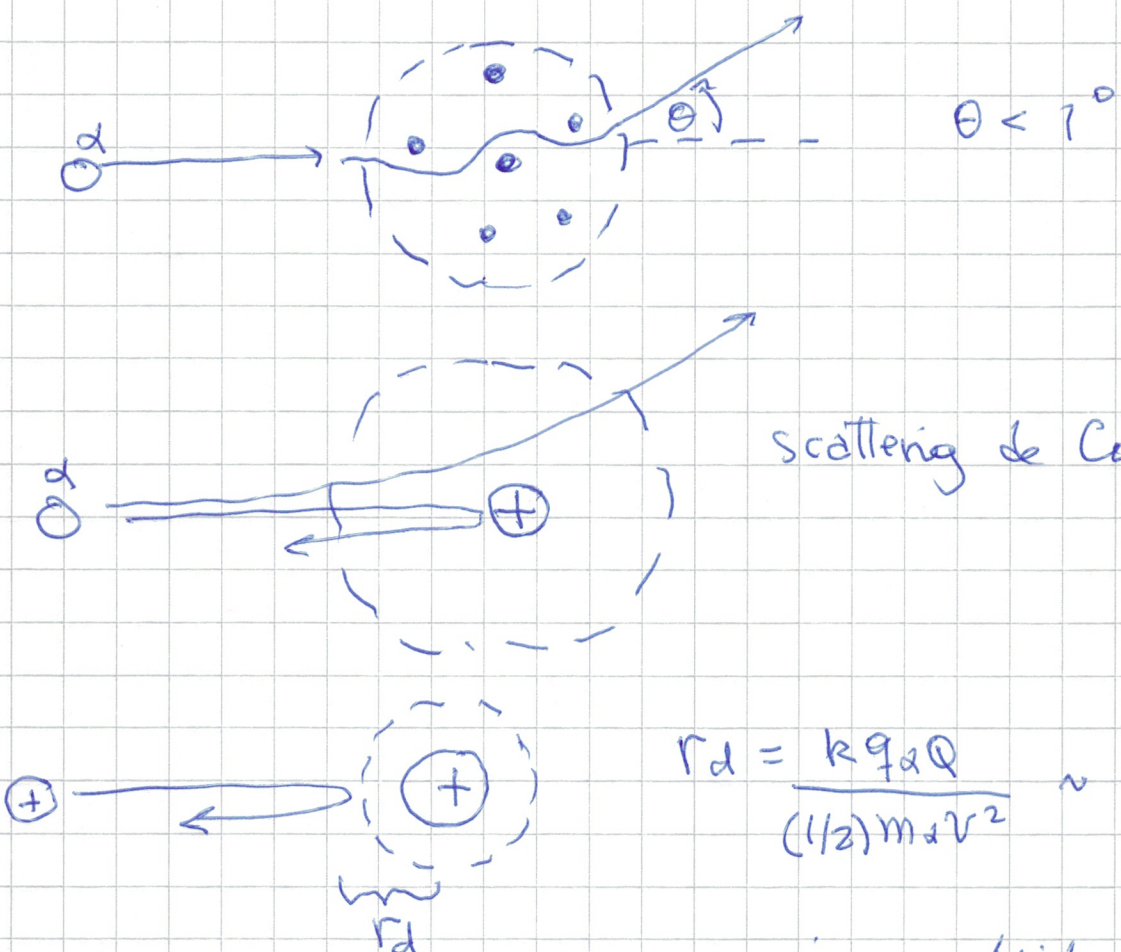


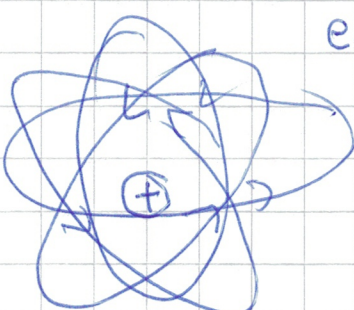
Rutherford



No puede ser explicado con el modelo de Thompson



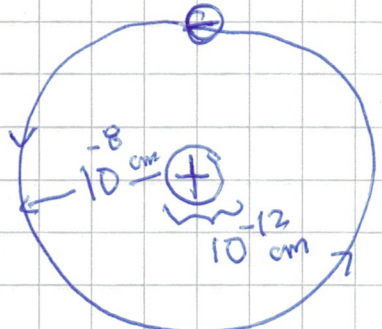
$$r_d = \frac{k q_\alpha Q}{(1/2) m_\alpha V^2} \sim 10^{-14} \text{ m (Al)}$$



e⁻ en órbita

↓
no es posible

H:



Modelo de Rutherford

- De acuerdo con Newton
- En contradicción con Maxwell

$$\frac{dW}{dt} = \frac{2}{3} \frac{e^2}{c^3} a^2 \quad (\text{Jackson})$$

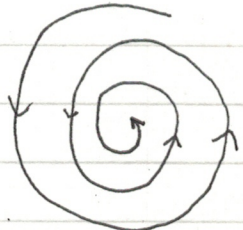
potencia
irradiada

Órbita circular: $F_{\text{cent}} = F_{\text{coulomb}}$

$$\frac{mv^2}{r} = \frac{e^2}{r^2} \Rightarrow mv^2 = \frac{e^2}{r}$$

$$y \quad \alpha = v^2/r = \frac{e^2}{mr^2}$$

$$\Rightarrow \frac{dW}{dt} = \frac{2}{3} \frac{e^2}{c^3} \left(\frac{e^2}{mr^2} \right)^2 = \frac{2e^6}{3c^3 m^2 r^4} \quad (1)$$



Energía: $E = \frac{1}{2} mv^2 - \frac{e^2}{r} = -\frac{e^2}{2r}$

$$\Rightarrow \frac{dE}{dt} = \frac{e^2}{2r^2} \frac{dr}{dt} \quad (2)$$

Ciclo de Energía: $\Rightarrow D = \frac{dW}{dt} + \frac{dE}{dt}$

$$\frac{2e^6}{3c^3 m^2 r^4} = -\frac{e^2}{2r^2} \frac{dr}{dt} \Rightarrow dt = \frac{3c^3 m^2 r^4 (-e^2)}{4e^6 r^2} dr$$

$$dt = -\frac{3c^3 m^2}{4e^4} r^2 dr \quad / \int_{r=0}^{r=a_0}$$

$$a_0 = 0.529 \times 10^{-8} \text{ cm}$$

$$T = \frac{mc^3 a_0^3}{4e^4} \sim 10^{-11} \text{ [s]}$$

Modelo de Bohr

1. Existe órbitas (estacionarias) que no irradian
 2. El atomo irradia cuando el e- cambia de órbita
- $$\hbar\nu = \Delta E = E_n - E_{n-1} \quad (\text{órbitas vecinas})$$

3. Pero $n \rightarrow \infty$, la freq. de los radicales debe coincidir con la clásica (P. de correspondencia).

✓ freq. clásica

$$3 \Rightarrow \hbar\omega = \frac{E_n - E_{n-1}}{n - (n-1)} \rightarrow \frac{dE(n)}{dn} = \hbar\bar{\omega} = \frac{\hbar V}{F}$$

$$\text{y como } mv^2 = \frac{e^2}{F} \Rightarrow r = e^2/mv^2$$

$$\Rightarrow \boxed{\bar{\omega} = \frac{mv^3}{e^2}}$$

$$\text{Luego, } \frac{dE}{dn} = \hbar\bar{\omega} = \frac{\hbar mv^3}{e^2} = \frac{\hbar m}{e^2} \left(\frac{-2E}{m} \right)^{3/2} =$$

$$\Rightarrow (-E)^{-3/2} dE = \frac{\hbar}{e^2} \sqrt{\frac{8}{m}} dn \quad | \int$$

$$-2E^{-1/2} = \frac{\hbar}{e^2} \sqrt{\frac{8}{m}} n \Rightarrow E_n = - \left(\frac{me^4}{2\hbar^2} \right) \frac{1}{n^2} = -\frac{R_y}{n^2}$$

$$\boxed{E_n = -\frac{R_y}{n^2}}$$

$$n = 1, 2, \dots$$

$$\text{donde } R_y = \frac{me^4}{2\hbar^2} = \frac{e^2}{2\alpha_0} \approx 13.6 \text{ [ev]}$$

donde $\alpha_0 = \hbar^2/m = 0.53 \times 10^{-8} \text{ [m]} \text{ "radio de Bohr"}$

$$r_n = \frac{-e^2}{2E_n} = \frac{-e^2}{2(-R_y)} n^2 = n^2 \alpha_0$$

$$\boxed{r_n = n^2 \alpha_0}$$

Al considerar un e⁻ de la órbita n₂ a la n₁, se emite un fotón

$$\Delta E = \underbrace{\frac{\hbar\omega}{\lambda}}_{hc} = Ry \left(\frac{1}{n_1^2} - \frac{1}{n_2^2} \right) \Rightarrow \frac{1}{\lambda} = \frac{Ry}{hc} \left(\frac{1}{n_1^2} - \frac{1}{n_2^2} \right)$$

En otras palabras, $\frac{1}{\lambda} = Ry \left(\frac{1}{n_1^2} - \frac{1}{n_2^2} \right)$ Explica todas las series conocidas

$$\text{con } R = \frac{Ry}{hc} = \frac{me^4}{2\pi^2} \cdot \frac{1}{hc} = \frac{\pi me^4}{\hbar^3 c} = 1.09486 \times 10^7 [\text{m}^{-1}]$$

Momento angular : $L = rP = \frac{e^2}{mv^2} \cdot mr = \frac{e^2}{v} = \sqrt{\frac{-m}{2E}} \cdot e^2$

$$= \sqrt{\frac{\hbar^2 n^2}{en}} \cdot e^2 = nh$$

L_n = nh

(Cuantización del momento angular)

la hipótesis de Louis de Broglie

$$\text{Relatividad} \Rightarrow E = pc \quad (1)$$

$$\text{Planck: } E = h\nu$$

$$pc = h\nu \Rightarrow p = \frac{h\nu}{c} = \frac{h}{\lambda}$$

$$p = \frac{h}{\lambda}$$

peso de
un

1924: Broglie $\rightarrow p = \frac{h}{\lambda}$ válido también para partículas de materia.

$$\Rightarrow \lambda = \frac{h}{p}$$

1925: Davisson & Germer descubrieron efecto de difracción de electrones cuando los de 40 (eV) inciden sobre un monocristal de níquel.

1937: Stern & Frisch obs. difracción de átomos de He sobre cristales de fluoruro de Litio.

Mas sobre de Broglie

$$\text{Luz: } E = h\nu = \frac{hc}{\lambda} \quad \Rightarrow \quad PC = \frac{hc}{\lambda} \Rightarrow A = \frac{h}{P}$$

Materia: por ej., $\lambda = \frac{hc}{E}$ que es igual a $\frac{h}{P}$ sólo para la luz.

$$mc^2 = h\nu \leftarrow \begin{matrix} \text{internal} \\ \text{frequency} \end{matrix} \text{ de "algo"}$$

"desplazamiento" acr. a este "vibración" $\Psi = A \sin(2\pi\nu t)$

En otros sist. coord. donde la partícula se mueve a veloc. v :

$$t' = \frac{t - x'v/c^2}{\sqrt{1 - (v/c)^2}/c}$$

$$\Psi = A \sin \left(2\pi\nu \left(\frac{t' - x'v/c^2}{\sqrt{1 - (v/c)^2}} \right) \right)$$

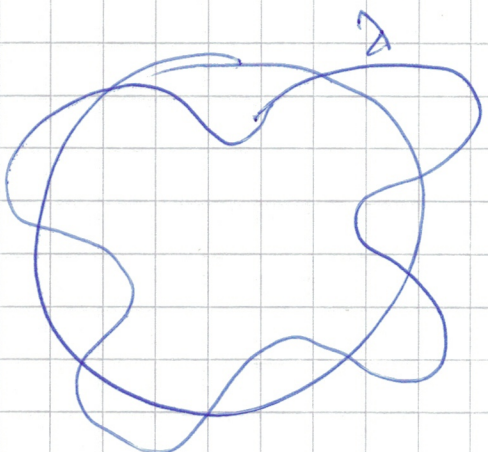
pero queremos $\Psi = A \sin [2\pi \left(\frac{t'}{\tau} - \frac{x'}{\lambda} \right)]$ - onde sinusoidal
vírgere

$$\Rightarrow \frac{2\pi}{\lambda} = \frac{2\pi\nu v/c^2}{\sqrt{1 - (v/c)^2}}, \text{ pero } v = mc^2/h$$

$$\Rightarrow \frac{h}{\lambda} = \frac{mv}{\sqrt{1 - (v/c)^2}} = p \Rightarrow \lambda = \frac{h}{p}$$

is consistente
con la relatividad

El Atomo de H según De Broglie



Interferencia constructiva:

$$2\pi R = n\lambda, \text{ con } \lambda = h/p$$

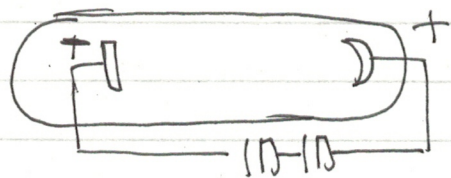
$$\frac{mv^2}{R} = \frac{eZe}{R^2} \Rightarrow (mv)^2 = \frac{ze^2m}{R} \quad (1)$$

$$\text{de } 2\pi R = n\lambda = \frac{nh}{p} = \frac{nh}{mv} \Rightarrow R = \frac{n\hbar}{mv} \quad (2)$$

$$\Rightarrow R^2 = \frac{n^2 \hbar^2}{(mv)^2} = \frac{n^2 \hbar^2}{m^2 Z e^2} R \Rightarrow \boxed{R = \frac{n^2 \hbar^2}{m^2 Z e^2}} \quad (3)$$

$$\text{Por otro lado, } E = -\frac{Ze^2}{2R} \Rightarrow \boxed{E_n = -\frac{m^2 Z^2 e^4}{2\hbar^2} \cdot \frac{1}{n^2}} \quad (4)$$

Raios X: Descubiertos por W.K. Röntgen en 1895



- (a) los raios X se producen cuando los rayos catódicos chocan contra una superficie sólida
- (b) los raios X no son deflectados por campo \vec{B} .
- (c) El polo de rayos X es trivalente (ver gas), incrementa la conductividad eléctrica del gas).
- (d) las emulsiones fotográficas son sensibles a los rayos
- (e) los rayos no son refractados apreciablemente por un polo e traves de los materiales.

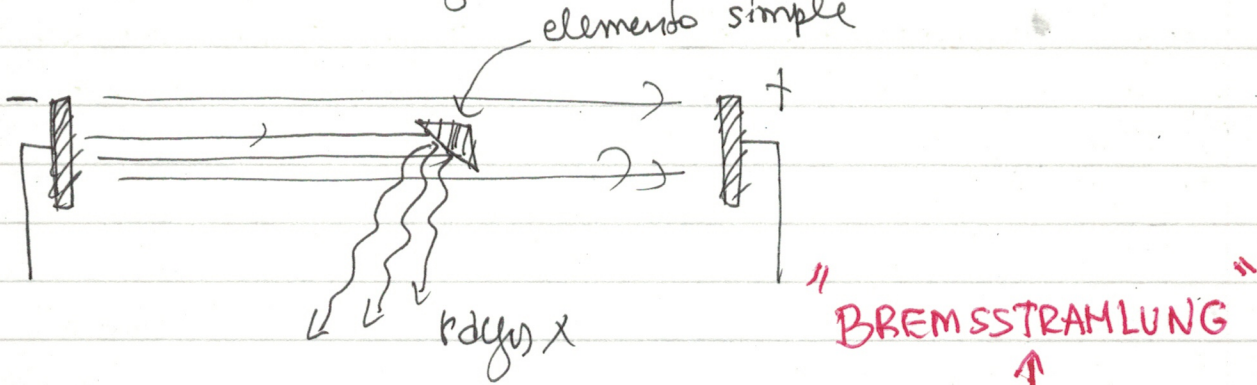
Aplicación [inesperada]: Fotografía de los huesos del cuerpo humano

Vale que los raios X son difractados por cristales
 \Downarrow
 \Rightarrow ondas

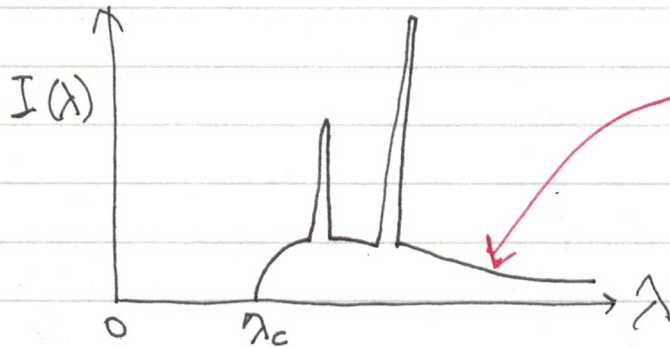


Figura 3. Radiografía de la mano de Anna Roentgen.

Producción de rayos X



Especio:



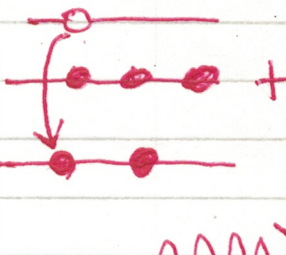
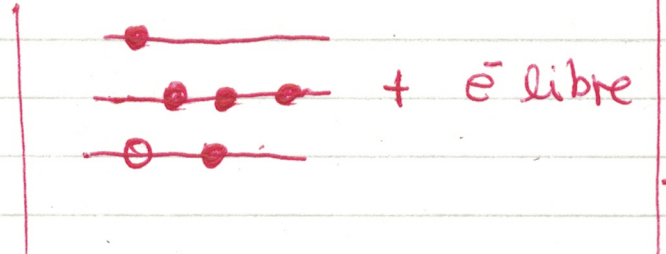
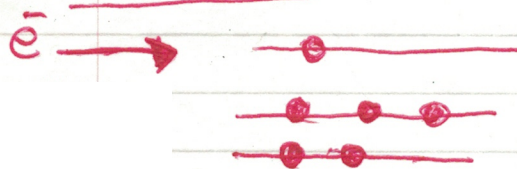
Especio continuo
(radiación de frenado)

Max. energía fotón: $E_{\max} = h\nu_c = \frac{hc}{\lambda_c} = eV$

$$\Rightarrow \lambda_c = \frac{hc}{eV}$$

para $V=12.400 \text{ [V]}$ $\Rightarrow \lambda_c \approx 1 \text{ Å}$

MECANISMO (Moseley, 1913): (usando teoría de Bohr)

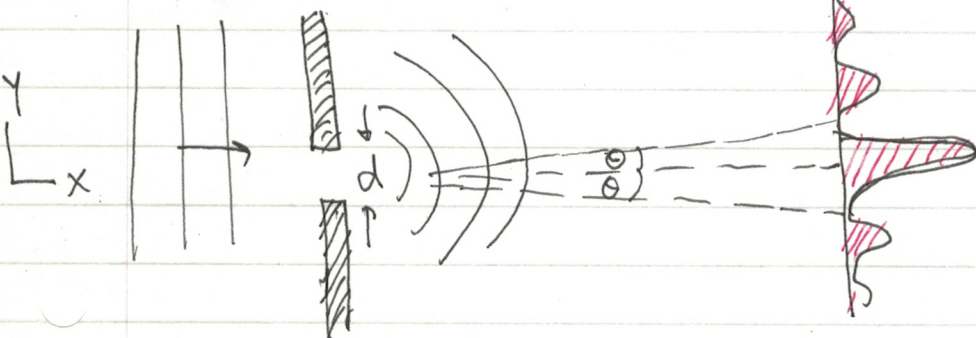


MW
Roden K

Principio de incertezas

Ej: fotón con momento p, incidente sobre neutrón de diámetro d.

in tensión



se cumple.

$$\frac{m\lambda}{d} = \sin \theta_m \quad (+)$$

$$(m + \frac{1}{2})\frac{\lambda}{d} = \sin \theta_m \quad (-)$$

Fotón cruza neutrón \Rightarrow medición coord y del fotón ; con error ~~desconocido~~ $\Delta y = d/2$
antes de cruzar $P_y = 0$; después adquiere $\Delta P_y \approx p \sin \theta$

$$\Rightarrow \Delta y \Delta P_y \approx \frac{d}{2} \cdot p \sin \theta = \frac{d h \sin \theta}{2\lambda} = \frac{h}{2} \quad (2)$$

Ej 2: e^- localizado en una zona de dimensiones atómicas
 $\Delta x \sim a_0 = 0.5 \text{ \AA}$

$$\Delta v = \frac{\Delta p}{m_e} = 0 \left(\frac{h}{m_e \Delta x} \right) = \frac{1.054 \times 10^{-27}}{9.1 \times 10^{-28} \times 0.5 \times 10^{-8}} = 2000 \text{ [km/s]}$$

del orden de la velocidad promedio de un e^- atómico

Protón localizado en una zona de dim. atómicas -

$$\Delta v_p = 0 \left(\frac{h}{2000} \Delta m_p \right) = 1 \text{ [km/s]}$$

e^- loc. en zona de dim. nucleares. $\Delta x \sim 10^{-12} \text{ cm}$



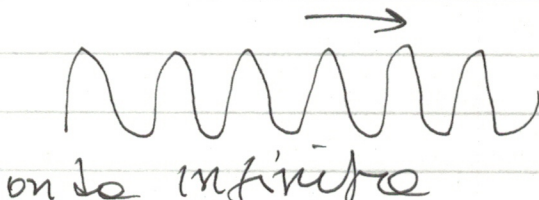
$$d \sim 10^{-12} \text{ cm} \quad U = \frac{e^2}{d}, \quad K = \frac{e^2}{2m_p} \sim \frac{h^2}{2m_p l^2} \quad \Delta U \propto (10^{12}) \frac{\text{cm}}{\text{s}}$$

Se observa o de Bloch, pero el portátil con movimiento largo def. p, $\lambda = \frac{h}{p}$

$$\Psi = A \sin\left(\frac{2\pi}{\lambda}x - \frac{2\pi}{T}t\right) = A \sin(kx - \omega t)$$

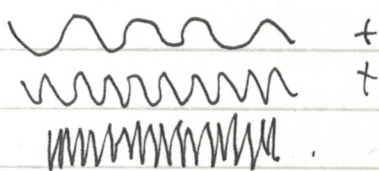
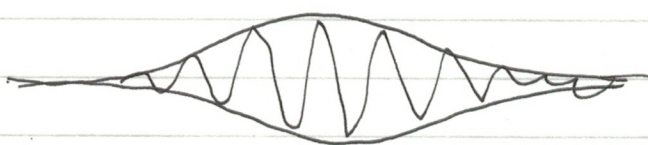
$$E = \hbar\omega = \frac{\hbar}{2\pi}\omega = \hbar\nu = A \sin\left(\frac{2\pi E x}{\hbar} - \frac{2\pi E t}{\hbar}\right)$$

$$\Psi(x, t) = A \sin\left[\frac{p}{\hbar}x - \frac{E}{\hbar}t\right]$$



clase 1: no representa una partícula "localizable"

→ recibimos ondas mas localizadas.



→ se reciben superponer un # de ondas planas ∞ , contenidas diferentes p.

si el "tamaño" espacial del pulso es Δx , el orden de ps recibidos será Δp , donde

$$\Delta x \Delta p \geq \text{cte. } (\text{de la teo. gen. de Heisenberg})$$

$$\frac{\hbar}{2}$$